

ÁRVORES BALANCEADAS EM C

2024001034 - Gustavo Senador de Faria
2023012436 - Matheus Junqueira Jundurian Bolonha
2023007697 - Paulo Victor Olympio

CTCO02 - ALGORITMOS E ESTRUTURAS DE DADOS II

Prof. Vanessa Cristina



INSTITUTO DE
MATEMÁTICA E
COMPUTAÇÃO

UNIFEI - Itajubá



Árvores Balanceadas em C

1 Introdução

O estudo de estruturas de dados eficientes é um pilar da ciência da computação, impactando diretamente o desempenho de algoritmos e a capacidade dos sistemas em gerenciar grandes volumes de dados de maneira eficiente.

Nesse contexto, as árvores balanceadas destacam-se por manterem uma estrutura que garante operações de busca, inserção e remoção em tempo logarítmico ($O(\log n)$), mesmo em conjuntos dinâmicos com milhares ou milhões de elementos (Cormen et al. (2012)). Ao assegurar uma altura próxima do mínimo teórico, tais estruturas buscam proporcionar eficiência e escalabilidade ao evitarem a degradação da árvore para formas lineares, característica de árvores binárias de busca não balanceadas que tornam suas operações mais ineficientes e mais custosas computacionalmente.

Dessa forma, árvores balanceadas, como as árvores 2-3-4 (árvores B de ordem 4) e árvores rubro-negras, são amplamente aplicadas em diversos sistemas computacionais. Em bancos de dados, estruturas derivadas, como árvores B e B+, otimizam o acesso a dados em disco. Já em sistemas de arquivos, elas organizam índices hierárquicos, acelerando operações de leitura e escrita, por exemplo. Compiladores e sistemas operacionais também se beneficiam dessas estruturas, utilizando árvores balanceadas para representar expressões sintáticas ou gerenciar recursos como processos e memória.

As árvores 2-3-4 são árvores de busca balanceadas caracterizadas por nós que podem armazenar 1, 2 ou 3 chaves e possuir 2, 3 ou 4 filhos, sendo essa uma estrutura que simplifica a gestão de múltiplas chaves em um único nó. Seu balanceamento é mantido por meio de operações de divisão (split) durante inserções e fusão (merge) durante operações de remoção, garantindo que a altura da árvore permaneça logarítmica, com operações de busca, inserção e remoção executadas em tempo $O(\log n)$. Essa flexibilidade de nós com múltiplos filhos reduz a frequência de reestruturações em cenários dinâmicos, como em bancos de dados, onde atualizações constantes são comuns. Além disso, a representação abstrata das árvores 2-3-4 facilita a compreensão conceitual, tornando-as ideais para modelar problemas que exigem organização hierárquica eficiente (Cormen et al. (2012)).

Por outro lado, as árvores rubro-negras são árvores binárias de busca balanceadas, onde cada nó possui uma cor distinta (vermelho ou preto) para manter as seguintes propriedades que asseguram uma altura aproximadamente logarítmica:

- Um nó é vermelho ou preto;
- A raiz é preta. (Esta regra é usada em algumas definições. Como a raiz pode sempre ser alterada de vermelho

para preto, mas não sendo válido o oposto, esta regra tem pouco efeito na análise);

- Todas as folhas(nil) são pretas;
- Ambos os filhos de todos os nós vermelhos são pretos; e
- Todo caminho de um dado nó para qualquer de seus nós folhas descendentes contém o mesmo número de nós pretos.

Operações como rotações e ajustes de cor corrigem desequilíbrios durante processos de inserção e remoção, garantindo eficiência em $O(\log n)$. Sua estrutura binária é particularmente vantajosa em implementações computacionais, como em linguagem C, devido à sua compatibilidade com sistemas de memória e menor overhead em comparação com árvores de múltiplos filhos, tornando-as amplamente utilizadas em aplicações práticas, como sistemas de arquivos e bibliotecas de software, onde a simplicidade de manipulação de nós binários otimiza o desempenho.

Embora estruturalmente distintas, as árvores 2-3-4 e rubro-negras apresentam uma equivalência funcional, pois ambas garantem balanceamento e operações em tempo logarítmico. Essa equivalência reside na possibilidade de representar cada nó de uma árvore 2-3-4, com até três chaves, como uma árvore rubro-negra, onde nós vermelhos simulam as conexões internas de um nó 2-3-4, e nós pretos mantêm a estrutura balanceada. Essa correspondência permite a conversão direta entre as estruturas, preservando suas propriedades de eficiência. Este trabalho implementa, em linguagem C, um sistema que realiza essa conversão, incluindo operações de inserção, remoção e impressão, além de análises estatísticas do comportamento da árvore 2-3-4, explorando a relevância prática e teórica dessa transformação em sistemas computacionais modernos.

2 Desenvolvimento

Todo o código desenvolvido pode ser acessado no Github: <https://github.com/Astroguasss/TrabalhoALG2-2/tree/main>.

2.1 Algoritmo de Conversão

A conversão de uma árvore 2-3-4 para uma árvore rubro-negra é um processo fundamentado na equivalência entre essas duas estruturas. Na prática, cada tipo de nó na árvore 2-3-4 é representado por uma configuração específica de nós e cores na árvore rubro-negra:

- Nó 2 (1 chave) corresponde a um nó preto com até dois filhos;
- Nó 3 (2 chaves): corresponde a um nó preto com um filho vermelho à direita; e
- Nó 4 (3 chaves): corresponde a um nó preto com dois filhos vermelhos.

A Figura 1 apresenta as relações de equivalência entre nós da árvore 2-3-4 e configurações de nós da árvore rubro-negra.

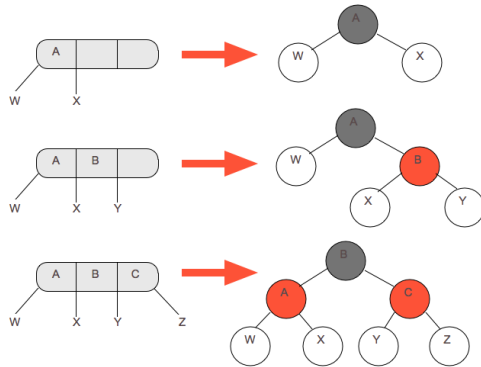


Figura 1: Relações de equivalência entre nós da árvore 2-3-4 e configurações de nós da árvore rubro-negra. Disponível em: <https://dtkachenko.blogspot.com/2011/11/multi-way-trees-and-external-storage.html?m=1>. Último acesso em 02/07/2025.

Dito isso, o algoritmo de conversão, representado pelo Algoritmo 1, segue uma abordagem recursiva, construindo a árvore rubro-negra a partir da raiz da árvore 2-3-4. Primeiramente, a função de conversão recebe como parâmetro dois ponteiros de raiz (um para a raiz da árvore 2-3-4 e um para a raiz da árvore rubro-negra). A partir disso, para cada nó da árvore 2-3-4, o algoritmo realiza as seguintes etapas: primeiramente, verifica a quantidade de chaves presentes no nó da árvore 2-3-4. Se o nó possui apenas uma chave (nó 2), um nó preto é criado e seus filhos são convertidos recursivamente; se o nó possui duas chaves (nó 3), o algoritmo cria um nó preto e um filho vermelho à sua direita, inserindo duas chaves e convertendo seus filhos recursivamente; e se o nó possui três chaves (nó 4), é criado um nó preto com dois filhos vermelhos, convertendo cada parte da subárvore recursivamente.

O algoritmo faz com que cada nó criado possua um ponteiro específico para o próprio pai, mantendo a integridade da estrutura da árvore recém-convertida nessa atribuição. Finalmente, cada uma das subárvores da árvore 2-3-4 é processada da mesma maneira recursivamente, garantindo que toda sua estrutura seja convertida corretamente.

Algorithm 1: Conversão de uma árvore 2-3-4 para árvore Rubro-Negra

```

1  Função converte234(raiz234, pai):
2      if raiz234 é nulo then
3          return NULL
4      end
5      RaizRubro ← NULL;
6      chaves ← obterChaves(raiz234);
7      filhos ← obterFilhos(raiz234);
8      quantidadeKey ← obterQtdChaves(raiz234);
9      switch quantidadeKey do
10         case 1 do
11             RaizRubro ← novo nó com chave
12                 chaves[0], cor preta, pai = pai;
13             RaizRubro.esq ← converte234(filhos[0],
14                 RaizRubro);
15             RaizRubro.dir ← converte234(filhos[1],
16                 RaizRubro);
17         end
18         case 2 do
19             RaizRubro ← novo nó com chave
20                 chaves[0], cor preta, pai = pai;
21             vermelho ← novo nó com chave chaves[1],
22                 cor vermelha, pai = RaizRubro;
23             RaizRubro.esq ← converte234(filhos[0],
24                 RaizRubro);
25             RaizRubro.dir ← vermelho;
26             vermelho.esq ← converte234(filhos[1],
27                 vermelho);
28             vermelho.dir ← converte234(filhos[2],
29                 vermelho);
30         end
31         case 3 do
32             RaizRubro ← novo nó com chave
33                 chaves[1], cor preta, pai = pai;
34             vermelhoEsq ← novo nó com chave
35                 chaves[0], cor vermelha, pai = RaizRubro;
36             vermelhoDir ← novo nó com chave
37                 chaves[2], cor vermelha, pai = RaizRubro;
38             RaizRubro.esq ← vermelhoEsq;
39             RaizRubro.dir ← vermelhoDir;
40             vermelhoEsq.esq ←
41                 converte234(filhos[0], vermelhoEsq);
42             vermelhoEsq.dir ←
43                 converte234(filhos[1], vermelhoEsq);
44             vermelhoDir.esq ←
45                 converte234(filhos[2], vermelhoDir);
46             vermelhoDir.dir ← converte234(filhos[3],
47                 vermelhoDir);
48         end
49     end
50     return RaizRubro

```

2.2 Ambiente de Desenvolvimento

- **Hardware:** Intel Core i5-1135G7 e 8 GB de memória RAM;
- **Sistema Operacional:** Windows 11 64-bit;
- **Linguagem de Programação:** C; e

- **Ferramentas de Desenvolvimento:** Visual Studio Code, versão 1.100.3, GitHub.

3 Benchmarking

Após o desenvolvimento da árvore 2-3-4, foram realizados alguns testes de desempenho no intuito de avaliar e analisar o comportamento da estrutura em diferentes contextos. A princípio, foram analisados os comportamentos da árvore perante a entradas de valores inteiros não ordenados de diversos tamanhos (100, 1.000, 10.000 e 100.000 elementos). Os aspectos escolhidos para análise foram:

- Tamanho da amostra;
- Quantidade de operações de splits;
- Altura final da árvore obtida; e
- Total de blocos ocupados (no contexto desse trabalho, o total de blocos ocupados foi interpretado como a quantidade de nós obtidos pós-inserção).

Os resultados obtidos estão organizados na Tabela 1.

Tamanho da Amostra	Quantidade de Splits	Altura da Árvore	Blocos Ocupados
100	44	4	48
1000	512	6	518
10000	5213	9	5222
100000	50654	11	50665

Tabela 1: Resultados dos testes de inserção.

Além da análise de inserção, foi realizada uma série de experimentos para avaliar o comportamento da árvore 2-3-4 durante operações de remoções sucessivas. Os testes consideraram a exclusão de 10, 20, 35 e 50 por cento dos elementos de uma árvore previamente construída com 10.000 elementos. Foram registradas os seguintes dados:

- Quantidades de operações de rotações;
- Quantidade de operações de merge;
- Altura final; e
- Total de blocos ocupados após cada percentual de remoção (no contexto desse trabalho, o total de blocos ocupados foi interpretado como a quantidade de nós obtidos pós-remoção).

Os resultados estão demonstrados na Tabela 2:

Percentual de Remoção	Quantidade de Rotações	Quantidade de Merges	Altura Final	Total de Blocos Final
10	117	78	9	5076
20	361	268	9	4919
35	735	774	9	4425
50	1178	1555	9	3650

Tabela 2: Resultados obtidos dos testes de remoção.

4 Discussões

A análise dos dados extraídos da Tabela 1 (operações de inserção) revela um crescimento proporcional e consistente das métricas em relação ao aumento do número de elementos inseridos. A quantidade de splits cresce quase que linearmente com o tamanho da amostra, sendo coerente com a natureza das árvores 2-3-4, que realizam divisões (splits) para manter seu balanceamento conforme os nós se tornam cheios. Já a altura da árvore cresce de forma logarítmica, como esperado para árvores balanceadas, evidenciando o excelente desempenho estrutural da árvore 2-3-4 mesmo perante grandes volumes de dados. Com 100.000 elementos, a altura da árvore é de apenas 11, demonstrando que a estrutura consegue preservar o balanceamento de forma eficiente. Em relação ao número total de blocos ocupados (neste caso, quantidade de nós), observa-se uma correspondência quase direta com a quantidade de elementos inseridos. Isso sugere uma distribuição adequada dos elementos entre os nós, sem excessiva fragmentação ou sobrecarga da árvore.

Já os dados exibidos na Tabela 2 (operações de remoção) revelam que a altura da árvore permaneceu constante (9) independentemente do percentual de remoção aplicado, evidenciando a capacidade da estrutura da árvore de manter seu balanceamento mesmo após remoções volumosas. No entanto, observa-se um crescimento expressivo nas operações de rotações e merges à medida que o percentual de remoção aumentava. Enquanto 10 por cento de remoção amostral exigiram apenas 117 rotações e 78 merges, a exclusão de 50 por cento dos elementos acabou por demandar 1.178 rotações e 1.555 merges. Esses dados indicam que o custo computacional das operações de remoções é elevado, especialmente quando há necessidade de reestruturações cada vez mais complexas para manter a consistência da árvore. Já a quantidade de blocos ocupados pela árvore possuiu uma redução progressiva junto ao aumento das remoções, demonstrando o esvaziamento da árvore. Mesmo com 50 por cento dos dados removidos, a árvore manteve sua estrutura robusta e bem distribuída, com 3.650 blocos ainda ocupados.

De forma geral, os resultados analisados sugerem que a árvore 2-3-4 é capaz de oferecer um excelente desempenho em operações de inserção, mesmo com volumes elevados de dados, mantendo sua altura reduzida e uma distribuição equilibrada de elementos entre os blocos ocupados. Além disso, os testes demonstram que a estrutura mantém seu balanceamento de forma eficaz também durante operações de remoção, ainda que essas exijam um custo computacional mais elevado devido à realização intensiva de rotações e merges. Esses dados reforçam a robustez e a eficiência da árvore 2-3-4 como uma solução viável e eficiente para o gerenciamento dinâmico de conjuntos de dados em diversas aplicações.

5 Considerações Finais

A realização deste trabalho possibilitou não apenas o aprofundamento teórico no estudo das árvores balanceadas, mas também a aplicação prática dos conceitos por meio da implementação de um sistema funcional em linguagem C. A conversão entre árvores 2-3-4 e rubro-negras revelou-se uma excelente oportunidade para consolidar o entendimento sobre as propriedades estruturais que garantem o balanceamento e

a eficiência dessas representações, demonstrando-se didaticamente eficaz para a compreensão de como diferentes modelos de estruturação de dados podem representar o mesmo conjunto de informações com variações específicas de desempenho e simplicidade computacional. Além disso, os testes realizados demonstraram a robustez da árvore 2-3-4 frente a operações intensivas de inserção e remoção, validando seu uso em contextos que exigem desempenho consistente e estrutura estável. Ainda que as remoções apresentem maior custo interno, a árvore manteve suas propriedades de balanceamento, o que reforça sua aplicabilidade em sistemas reais.

Por fim, o trabalho contribuiu para o desenvolvimento de habilidades técnicas relevantes, como o domínio de estruturas dinâmicas em linguagem C, o uso de estratégias recursivas para manipulação de árvores e a análise crítica de desempenho por meio de benchmarking. Essa experiência será valiosa para futuros projetos que demandem a modelagem e a manipulação eficiente de grandes volumes de dados.

Referências

Cormen, T. H., Leiserson, C. E., & Clifford Stein, R. L. R. (2012). *Algoritmos: teoria e prática*. Elsevier.

